



## Re

\*

:

: استفاده از بالون آنژیوپلاستی حاوی مایع رادیواکتیو اخیراً به عنوان یک تکنیک جدید برای کاستن عود تنگی عروق، پیشنهاد شده است. اندازه گیری توزیع دُر در اطراف بالون آنژیوپلاستی پر شده با  $^{186}\text{Re}$ -perhenate  $^{186}\text{Re}$ -perhenate با استفاده از فیلم رادیوکرومیک انجام گرفت. نرخ دُر اندازه گیری شده در فاصله ۰/۰ میلی‌متری از سطح بالون (با قطر ۴ میلی‌متر و طول ۴۰ میلی‌متر) برابر با مقدار [cGy/min]/(mCi/ml) بود. محاسبه دُر برای بالونهایی به ابعاد مختلف به روش مونت کارلو با کد MCNP4B انجام گرفت و نتیجه آن با نتایج آزمایشگاهی قابل مقایسه بود. غاظت‌های ویژه مناسب برای اعمال دُزهای Gy ۱۲-۲۰ به جدار رگ در مدت پرتودهی کمتر از ۴ دقیقه، حدود ۰/۰۰۲۷ cGy/MBq بود که قابل محظی  $^{186}\text{Re}$ -DTPA آن به درون دستگاه گردش خون آزاد شود، به روش MIRD محاسبه شد و در حدود ۰/۰۰۲۷ cGy/MBq بود که قابل قیاس با رادیوایزوتوپ  $^{99\text{m}}\text{Tc}$ -DTPA می‌باشد. بنابراین استفاده از رادیوایزوتوپ  $^{186}\text{Re}$ -DTPA به سبب اینمی در برابر پرتو و اعمال دُر نیاز جهت برآکی تراپی درون رگی برای کاستن عود تنگی عروق کرونر با مقطع دایره‌ای، مناسب است.

:

## Dosimetry of $^{186}\text{Re}$ Radioisotope in Intravascular Brachytherapy to Reduce Vascular Restenosis

H. Pourbeigi\*, Sh. Sheibani, H. Ghafourian, M.R. Ghahremani  
Department of Nuclear Research Center, AEOI, P.O. Box: 11365-3486, Tehran - Iran

**Abstract:** Recently, the use of filled angioplasty balloon with radioactive solution was proposed as one of the new intravascular irradiation techniques to reduce restenosis. Measurement of dose distribution beyond an angioplasty balloon filled with  $^{186}\text{Re}$ -perrenate was carried out using a radiochromic film. The measured dose rate in distance of 0.4 mm from the balloon surface (with diameter 4mm and length of 40mm) was 2.07 [(cGy/min)/(mCi/ml)]. Calculation of dose was carried out for the balloons with various size, using Monte-Carlo method with MCNP4B code and the result was comparable with the experimental results. Suitable specific concentrations for delivery of doses from 12 to 20 Gy in vessel wall were obtained 250 to 400(mCi/ml) in the time of irradiation less than 4min and the fall of radial dose was obtained approximately 80 percent in radial distance of 0.5mm from the balloon surface. The internal dose was calculated by MIRD method with assuming that in the case of balloon rupture,  $^{186}\text{Re}$ -DTPA contents were released into the circulation system and was about 0.0027 cGy/MBq which is comparable with the  $^{99\text{m}}\text{Tc}$ -DTPA model. Therefor, using from  $^{186}\text{Re}$ -DTPA is suitable due to the radiation safety and the delivery of dose in order to reduce restenosis for the coronary vessels with centric cross section.

**Keywords:** Dosimetry, Restenosis, Radiochromic Film, Monte-Carlo Method, Intravascular Brachytherapy, Internal Dosimetry

\*email: hpour\_ir@yahoo.com

تاریخ دریافت مقاله: ۸۴/۴/۴ تاریخ پذیرش مقاله: ۸۵/۴/۳



اندازه‌گیری توزیع ذُر در اطراف یک بالون حاوی مایع رادیوآکتیو  $^{188}\text{Re}$ -perhenate با استفاده از فیلمهای رادیوکرومیک  $^{(8)}\text{MD-55-2}$  انجام گرفته است، سپس با توجه به اینکه نتایج اندازه‌گیری فقط برای هندسه معینی امکان‌پذیر بوده، برای بررسی هندسه‌های دیگر و تعیین ذُر در نقاطی که در آزمایشها امکان اندازه‌گیری وجود نداشته با محاسبه صورت گرفته است. لذا محاسبه توزیع ذُر و آکتیویته مورد نیاز برای تعیین پارامترهای هندسی بالون و مدت پرتودهی لازم برای اعمال ذُرهای  $12-20\text{ Gy}$  در عمق  $0.5\text{ mm}$  از دیواره شریان با استفاده از روش مونت کارلو و بکارگیری کد MCNP4B انجام گرفته است.

### MD-55-2

فیلم‌های رادیوکرومیک MD-55-2 ساخته شده بوسیله شرکت (ISP TECHNOLOGIES INC) برای اندازه‌گیری ذُر جذب شده درون فانتوم معادل بافت، بکار می‌روند. ضخامت این فیلمها در حدود  $20\text{ }\mu\text{m}$  است. فیلم دارای ویژگیهای جذب پرتو مشابه با بافت نرم می‌باشد. رنگ این فیلم در اثر پرتودهی به آبی متمایل به سیاه تغییر می‌یابد. برای تعیین چگالی نوری این فیلمها به پردازش شیمیایی نیازی نیست. مشخصات ذیمتربی این فیلم به طور کلی شامل موارد ذیل می‌باشد:

- پاسخ خطی در گسترهٔ وسیعی از ذُر جذبی
- پاسخ مستقل از آهنگ ذُر

$200\text{ keV}$

- پاسخ مستقل از انرژی پرتوهای بالاتر از  $200\text{ keV}$
  - دارای ساختاری با عدد اتمی پایین (معادل بافت نرم) و پایداری تغییر رنگ ناشی از پرتودهی به فیلم
- برای تعیین چگالی نوری (O.D)، از یک اسپکتروفوتومتر نوری ساده استفاده شده است. در این اسپکتروفوتومتر طول موج از  $200$  تا  $1000$  نانومتر قابل تنظیم است.

تغییرات چگالی نوری در فیلم بستگی به ضخامت لایه فعال آن دارد و با توجه به اینکه ضخامت لایه فعال از بسته‌ای  $^{(9)}$  به بسته دیگر تغییرات محسوسی دارد، کالیبره کردن هر بسته از فیلمها ضروری است.

مطالعات متعدد انجام گرفته درباره استفاده از تکنیک برآکی تراپی درون رگی  $^{(1)}$  بر روی انسان و حیوانات، اخیراً حاکی از کاهش آهنگ عود تنگی  $^{(2)}$  با اعمال ذُرهای  $\text{Gy}$   $15-30$  باشد [۱ تا ۴]. آزمایش‌های این روش بر روی انسان نخستین بار با چشم Ir  $^{192}$  بصورت جایگذاری موقت، توسط Teirstein و همکارانش در سال ۱۹۹۷ انجام گرفت [۵]. این روش در طی آزمایش دیگری با جایگذاری موقت چشم‌های دانه‌ای  $^{(3)}$   $\text{Y}^{90}$ ,  $\text{Sr}^{90}$ , از طریق کاتتر  $^{(4)}$  بر روی انسان توسط Verin و همکارانش، انجام گرفت [۶].

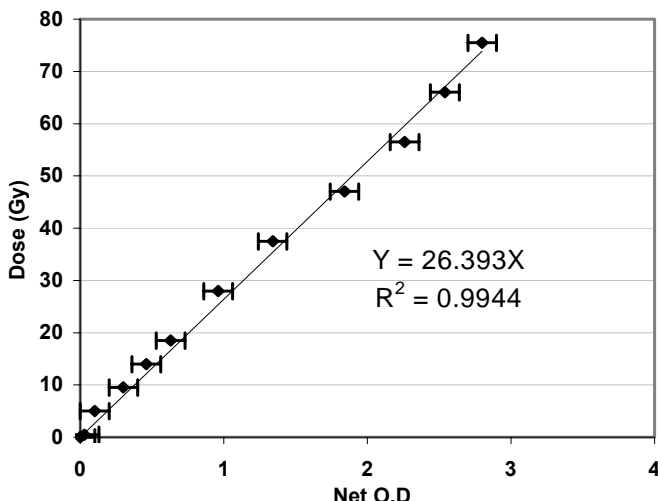
از طرفی چشم‌های رادیوآکتیو  $\text{P}^{33}$  لایه‌گذاری شده بر روی استنت  $^{(5)}$ ، به عنوان روشی دیگر مورد نظر بوده است.

علاوه بر روش‌های فوق، استفاده از بالون آنژیوپلاستی  $^{(6)}$ ، حاوی مایع رادیوآکتیو به عنوان روشی جدید مورد نظر بوده، که به تازگی تحت انجام آزمایش‌های کلینیکی قرار گرفته است [۸]، همچنین محاسبات ذیمتربی بالون آنژیوپلاستی حاوی مایع رادیوآکتیو  $^{188}\text{Re}$ ,  $^{90}\text{Y}$ ,  $^{186}\text{Re}$  بوسیله شبیه‌سازی مونت کارلو  $^{(7)}$  بررسی شده است [۷ و ۸].

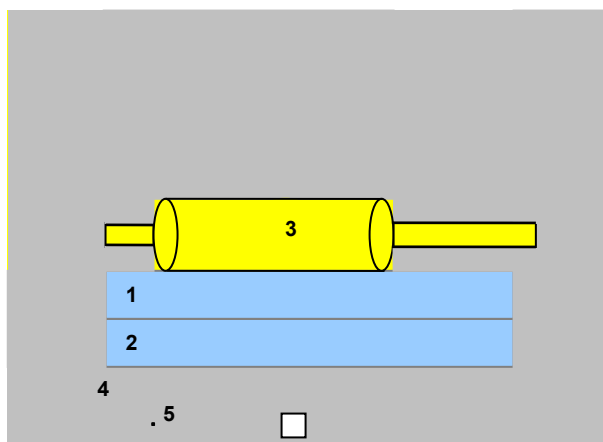
از مشکلات استفاده از انرژی بالای پرتو گاما  $^{192}\text{Ir}$ , اعمال ذُر ناخواسته به بافت‌های سالم اطراف نواحی درمانی می‌باشد. همچنین پرتوهای بتای پرانرژی مربوط به چشم‌های  $\text{Y}^{90}$ ,  $\text{Sr}^{90}$  و  $\text{P}^{33}$  ممکن است به نواحی غیر درمانی اطراف هدف آسیب برسانند.

رادیوایزوتوپ  $^{186}\text{Re}$  با نیمه عمر  $90.6$  ساعت و با انرژی بتای  $107\text{ MeV}$  هم اکنون برای تسکین درد استخوانی بیماران مورد استفاده قرار می‌گیرد. علاوه بر این پرتو گاما  $^{137}\text{keV}$  از این چشم به فراوانی نسبی  $9$  درصد ممکن است برای مقاصد تصویر برداری مورد استفاده قرار گیرد [۶]. بنابراین رادیوایزوتوپ  $^{186}\text{Re}$  به عنوان گسینده بتا ممکن است، جهت کاستن عود تنگی مناسب باشد. یک وسیله برآکی تراپی درون رگی باید توانایی اعمال ذُرهای  $12-20\text{ Gy}$  را به دیواره شریان حداکثر در مدت  $4$  دقیقه، داشته باشد [۷].

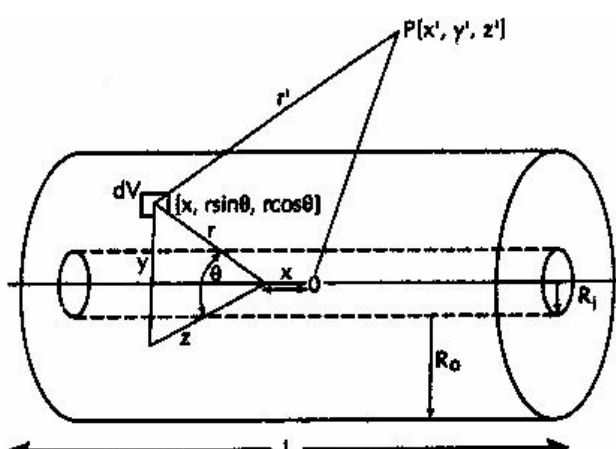
در این کار پژوهشی، ما «امکان سنجی» بکارگیری محلول  $^{186}\text{Re}$  برای برآکی تراپی داخل رگی را مورد بررسی قرار داده‌ایم.



نمودار کالیبراسیون فیلم گاف کرومیک برای اسپکتروفوتومتر موردنظر با باریکه فوتونی  $^{60}\text{Co}$ .



طرحی از مجموعه فانتوم شامل فیلمهای رادیوکرومیک MD-55-2 با شماره ۱ و ۲، بخش طولی بالون با شماره ۳، قطعات پلکسی گلاس با شماره ۴ و TLD با شماره ۵.



طرحی از هندسه چشمی برای محاسبه دُز در نقطه  $\hat{r}$  بر روی یک بالون با شعاع خارجی  $R_0$  و طول افقی  $L$ .

نمودار کالیبراسیون با مجموعه‌ای از قطعات فیلم به ابعاد  $2 \times 2 \times 5$  سانتی‌متر و پرتودهی با دُزهای مشخص  $5-80\text{ Gy}$  بوسیله دستگاه رادیوتراپی  $^{60}\text{Co}$ ، مدل تجاری (Theraton, 780c-Canada)، صورت گرفته است. میزان عدم قطعیت در پرتودهی به این فیلمها کمتر از ۵ درصد می‌باشد (شکل ۱). رابطه بدست آمده برای نمودار کالیبراسیون مرتبط با دُز جذبی بر حسب Gy نسبت به  $\Delta OD$  در این گستره دُز به صورت زیر است:

$$D(\text{Gy}) = 26.4 (\Delta OD) \quad (1)$$

تمام اندازه‌گیری‌های دُز جذبی با طول موج  $660\text{ nm}$  انجام گرفته است.

فیلم‌های MD-55-2 در ابعاد  $3 \times 6 \times 5$  سانتی‌متر مربع بربرد می‌شوند، سپس برای اندازه‌گیری توزیع دُز عمقی در طول بالون حاوی مایع  $^{186}\text{Re}$  بکار می‌روند. در شکل ۲، طرحی از مجموعه فانتوم نشان داده شده است که شامل فیلم‌های MD-55-2 با شماره ۱ و ۲، قسمت طولی بالون با شماره ۳، قطعات مکعبی از پلکسی گلاس با شماره ۴ می‌باشد.

همچنین از قرصهای TLD-100 در فاصله ۱ سانتی‌متری از بالون درون فانتوم، جهت تعیین دُز مربوط به پرتو گاما ( $137\text{keV}$ ) استفاده شد.

توزیع دُز یک بالون حاوی مایع رادیوآکتیو بوسیله انگرال عددی کرنل نقطه‌ای<sup>(۱۰)</sup> حاصل از روش مونت‌کارلو بر روی حجم بالون، به ترتیب ذیل قابل دست‌یابی است [۷]:

$$D(\hat{r}) = \iiint k(r, \hat{r}) \tilde{a}(r) dx dy dz \quad (2)$$

نرخ دُز بر حسب گری بر ثانیه در نقطه  $\hat{r}$  است.  $\tilde{a}(r)$  آکتیویته به واحد بکری بر سانتی‌متر مکعب می‌باشد.  $r$  و  $\hat{r}$  فواصلشعاعی بر حسب سانتی‌مترند.

$k(r, \hat{r})$  مقدار دُز مورد نظر به ازای یک گرم از بافت در نقطه  $P$  (شکل ۳) می‌باشد که بوسیله یک چشم نقطه‌ای، واقع در فاصله  $r$  ایجاد می‌گردد و به کرنل نقطه‌ای دُز معروف می‌باشد.



مقدار  $\sum \Delta_i$  برای ذرات باردار گسیل شده از  $Re^{186}$  با توجه به اطلاعات واپاشی گرفته شده از مرجع [۱۱] برابر ۰/۱۹۸ است می‌آید.

**TLD****MD-55-2**

در شکل ۴ نمایی از فیلم تابش دیده با شماره برجسب ۲ که در فاصله ۰/۴ میلی‌متر از سطح بالون قرار داده شده (شکل ۲)، ارائه شده است. برای دستیابی به این تصویر رنگی نرم‌افزار پردازش تصویری با نام Osiris416 بکار رفته است. این نرم‌افزار به عنوان یکی از نرم‌افزارهای پردازش تصویر در بخش‌های پزشکی هسته‌ای مورد استفاده است [۱۲].

در شکل ۵ نتایج دزیمتری با فیلم MD-55-2 نشان داده شده است. این فیلم در موقعیت شماره ۲ (شکل ۲) به فاصله ۰/۴ میلی‌متر از سطح بالون جایگذاری شده است. این فاصله با در نظر گرفتن شعاع بالون، ضخامت فیلم شماره ۱ و نصف ضخامت فیلم شماره ۲ حساب شده است.

نتایج دزیمتری با TLD<sup>(۱۴)</sup> برای این بالون حاکی از آن است که نرخ دُز در فاصله ۱سانسی‌متری از سطح این بالون که درون فانتوم قرار دارد برابر با  $[cGy/hr]/[mCi/cc]$  ۰/۲۵ می‌باشد.

در شکل ۶ توزیع نرخ دُز عمقی در صفحه  $Z=0$  بر حسب بالون به ترتیب برابر ۴ و ۴۰ میلی‌متر است. نرخ دُز در عمق ۰/۵ میلی‌متری برابر با  $1/3$  می‌باشد که ۲۰ درصد بیشینه دُز سطحی است. نتایج محاسبات با نتایج دزیمتری با فیلم در حدود ۹۵ درصد همخوانی دارند. محاسبه نشان می‌دهد که دُز ناشی از تابش ترمزی کمتر از ۱ درصد دُز مربوط به ذرات بتا می‌باشد و قابل چشم‌پوشی است.

توزیع نسبی نرخ دُز در طول بالون (راستای محور Z) بر روی سطح بالون و در ۲ فاصله عمقی ۰/۳ و ۰/۵ میلی‌متر در شکل ۷ نشان داده شده است. نتایج حاکی از آن است که نرخ دُز در انتهای بالون در حدود ۵۰ درصد نرخ دُز ماکزیمم در مرکز بالون است، و با نتایج دزیمتری با فیلم همخوانی دارد (شکل ۷).

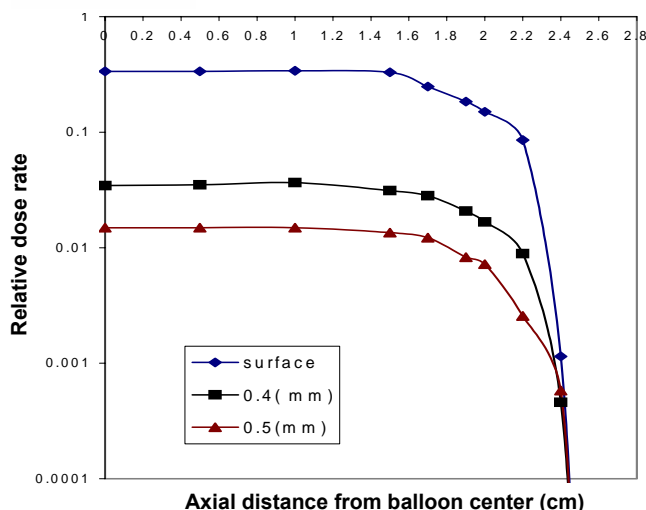
در شکل ۳ نمایی از هندسه محاسبه دُز در نقطه (t, r) بر روی یک بالون با شعاع خارجی R و طول افقی L نشان داده شده است که مشتمل بر رادیوایزوتوپ گسیلنده بتا می‌باشد. مجرای مرکزی کاتر شامل یک روزنے به شعاع R می‌باشد که محل عبور سیم هدایت کننده<sup>(۱۱)</sup> است. شبیه‌سازی مونت کارلو با کد MCNP4B برای محاسبه توزیع نرخ دُز در مواد معادل بافت در اطراف چشم مایع Re<sup>186</sup> مورد استفاده قرار گرفته است [۹]. چشم در مرکز حجم استوانه‌ای از فانتوم معادل بافت در نظر گرفته شده است. با در نظر گرفتن ساختاری متقارن برای چشم، یکسری حلقه‌های دایره‌ای در شعاع موردنظر به عنوان سلولهای تالی<sup>(۱۲)</sup> حول محور طولی چشم در نظر گرفته شده‌اند. در این پروژه تعداد ذرات بتا در هر شبیه‌سازی ۱۰<sup>۷</sup> در نظر گرفته شده است، بطوریکه عدم قطعیت آماری کمتر از ۵ درصد برای تمام تالی‌های موردنظر می‌باشد. شکل استوانه‌ای برای بالون به ما این امکان را می‌دهد که از یک تقارن دایره‌ای در محاسبات مونت کارلو استفاده نماییم بطوریکه باعث کاهش محاسبات گردد. برای محاسبات، فرض می‌شود که چشم بطور یکنواخت درون حجم بالون توزیع شده است.

از روش MIRD<sup>(۱۳)</sup> که توسط انجمن بین‌المللی پزشکی هسته‌ای عرضه شده است، برای محاسبه میانگین دُز جذبی اعضاء ناشی از توزیع داخلی و یکنواخت Re<sup>186</sup> درون بدن، استفاده می‌شود [۱۰].

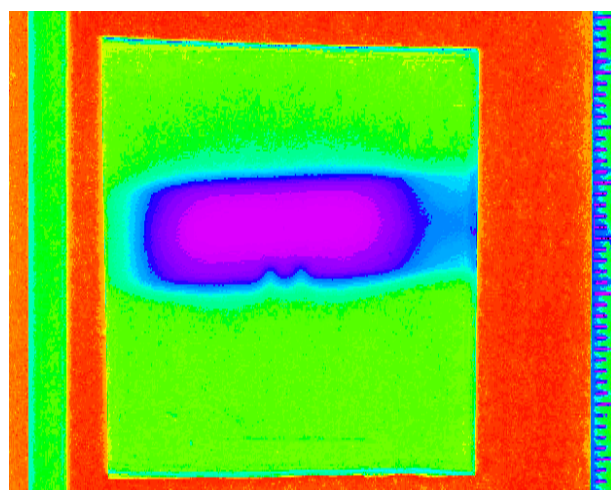
هنگامیکه رادیوایزوتوپی به بدن تزریق می‌شود، این روش برای محاسبه دُزهای جذبی اندام داخل بدن مورد استفاده قرار می‌گیرد. این دُزها اغلب از ذرات بتا برد کوتاه و الکترون‌های تبدیلی ناشی می‌شوند. معادله MIRD در این مورد به صورت زیر عرضه می‌شود:

$$\check{D}(Gy) = C_v \cdot \sum \Delta_i \quad (3)$$

که در آن  $\check{D}$  دُز تجمعی،  $C_v$  غلظت تجمعی بر حسب  $(MBq/gr).h$  و  $\Delta_i$  میانگین انرژی برای هر نوع واپاشی (ذرات باردار و فوتونها) می‌باشد و بر حسب  $(Gy.gr).h$  بیان می‌شود.



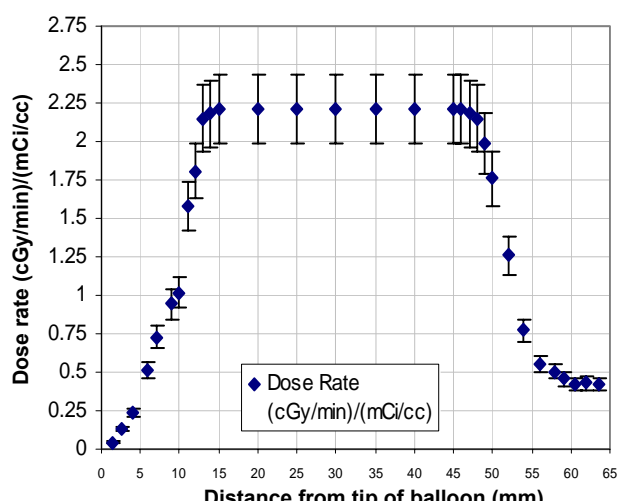
توزیع نسبی دُز در طول بالون (محور Z) بر روی سطح بالون و در ۲ فاصله عمقی ۰/۳ و ۰/۵ میلی‌متر.



فیلم 2 MD-55-2 که بواسیله بالون حاوی محلول  $^{186}\text{Re}$  پرتودهی شده است.

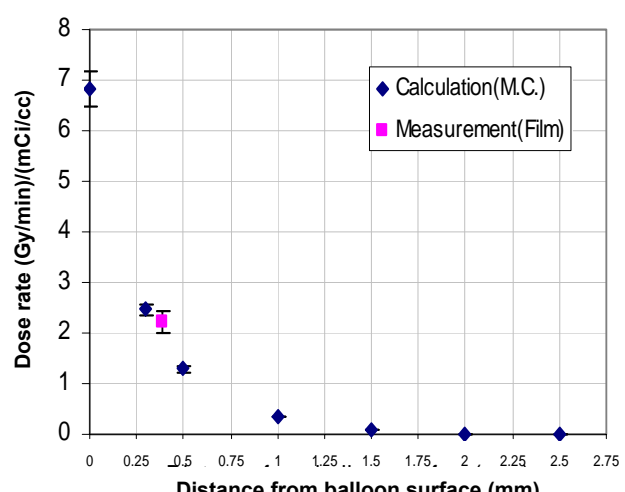
در شکل ۸ توزیع نرخ دُز عمقی بر حسب (Gy/min) (برای آکتیویتهای ویژه مختلف ۴۰۰، ۳۵۰، ۳۰۰، ۲۵۰، ۲۰۰ میلی‌کوری بر میلی‌لیتر نشان داده شده است. نرخ دُز در عمق ۰/۵ میلی‌متری برای آکتیویتهای ویژه بالا به ترتیب برابر ۲/۳۱، ۲/۶۴، ۴/۰۳، ۳/۶۴، ۲/۸۸ Gy/min است.

بنابراین مقدار آکتیویته ویژه مناسب برای بالونی به قطر ۴ میلی‌متر و به طول ۴۰ میلی‌متر در حدود ۲۵۰-۴۰۰ میلی‌کوری بر میلی‌لیتر است زیرا با این آکتیویتهای، اعمال دُز ۱۲-۲۰ Gy در فاصله عمقی ۰/۵ میلی‌متر در محدوده زمانی ۴ دقیقه امکان پذیر است.



- توزیع دُز در طول بالون با فیلم رادیوکرومیک 2

نتایج محاسبه مربوط به ارزیابی دُز داخلی  $^{186}\text{Re}$ -DTPA برای کل بدن و مثانه در جدول ۱ نشان داده شده است. Thomas و همکارانش در سال ۱۹۸۴، دُز داخلی مربوط به مدل  $^{99\text{m}}\text{Tc}$ -DTPA را برای کل بدن و مثانه به ترتیب برابر ۰/۰۱۲ و ۰/۷۱ mGy/MBq بدست آوردند [۱۳]. این محاسبه بر اساس داده‌های موجود برای  $^{186}\text{Re}$  و با اعمال تصحیح بر روی ضرایب  $\Delta_i$  برای  $\sum \Delta_i$  بدست آمده است.



توزیع نرخ دُز عمقی در صفحه Z=0 بر حسب [Measurement(Film)] [Calculation(M.C.)] برای بالونی به قطر ۴ و طول ۴۰ میلی‌متر.



وجود پرتو گاما $\gamma$  از این چشم با فراوانی نسبی ۹ درصد در هنگام پارگی بالون، برای مقاصد تصویربرداری از توزیع آلودگی داخلی می‌تواند بسیار مفید باشد.  
نتایج دزیمتري بالون حاوي  $^{186}\text{Re}$ -DTPA<sup>۱۸۶</sup> در زمان ۴ دقیقه، دُز بالاتر از  $12\text{ Gy}$  را در فاصله عمقی  $0/5$  میلی‌متری درون دیواره رگ نشان می‌دهد. از طرفی نتایج حاکی از آن است که مقدار آکتیویته مورد نیاز برای اعمال دُز  $30\text{ Gy}$  در مدت ۵ دقیقه برابر با  $400\text{ mCi}$  باشد. Stabin و همکارانش بوسیله کد محاسباتی EGS4 مقدار آکتیویته مورد نیاز از محلول  $^{186}\text{Re}$  را برای اعمال دُز  $30$  گری در زمان ۵ دقیقه را در حدود  $460\text{ mCi/cc}$  برد آورده‌اند [۸]، که در حدود  $12$  درصد بیشتر از مقدار بدست آمده در این کار پژوهشی است.

افت سریعتر نرخ دُز از سطح جدار رگ تا فاصله عمقی  $0/5$  میلی‌متری برای  $^{186}\text{Re}$  در مقایسه با دیگر رادیوایزوتوپ‌های بتا مانند  $^{188}\text{Re}$  و  $^{90}\text{Y}$  یک عدم مزیت تلقی می‌شود. مقطع عرضی دیواره رگها از لحظ شکل با هم متفاوت هستند، و در بیشتر موارد بیضی شکل و در بعضی موارد به شکل دایره می‌باشند؛ در صورت وجود نرخ دُز با افتی سریعتر، همگنی اعمال دُز به دیواره رگهای دارای مقطع غیر دایره‌ای کاهش می‌یابد، بنابراین استفاده از  $^{186}\text{Re}$  برای ضایعاتی که در آنها مقطع دیواره رگ دایره است، توصیه می‌شود.

#### ۱- Intravascular Brachytherapy

۲- Restenosis

۳- Seed

۴- Catheter

۵- Stent

۶- Angioplasty

۷- Monte Carlo

۸- Radiochromic

۹- Batch

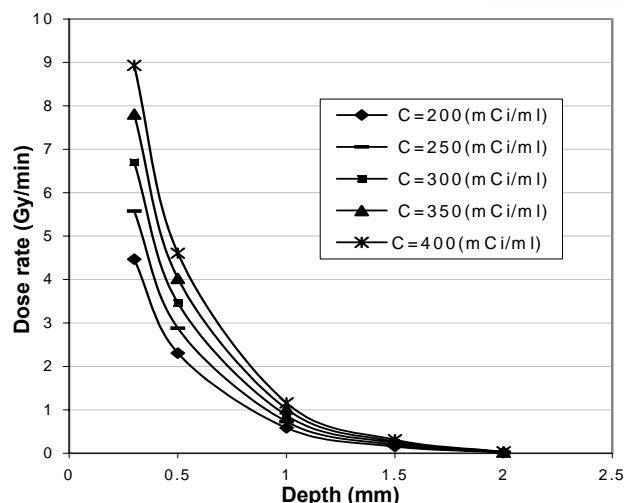
۱۰- Point Kernel

۱۱- Giude Wire

۱۲- Tally

۱۳- MIRD: Medical Internal Radiation Dosimetry

۱۴- Thermoluminecent



توزیع نرخ دُز عمقی بر حسب (Gy/min) برای آکتیویته‌های ویژه  $200, 250, 300, 350, 400$  میلی‌کوری بر میلی‌لیتر.

تخمین دز جذبی مربوط به  $^{186}\text{Re}$ -DTPA و مقایسه آن با مدل  $^{99m}\text{Tc}$ -DTPA.

مدل $^{99m}\text{Tc}$ -DTPA	دز جذبی (mGY/MBP)	
	$^{186}\text{Re}$ -DTPA	محاسبه
۲/۷۱	۱/۹۶	
۰/۰۱۲	۰/۰۰۲۴	

استفاده از بالون حاوي رادیوایزوتوپ بتا روشی قابل قیاس با روشهای دیگر است، چون علاوه بر مزیت اینمنی پرتوی، دارای توزیع دُز با همگنی بالاتر در اطراف بالون می‌باشد. از لحظ اینمنی در مقابل پرتو، کاربرد  $^{186}\text{Re}$ -DTPA<sup>۱۸۶</sup> انتخاب مناسبی است، زیرا دُز جذبی داخلی ناشی از پارگی بالون برای کل بدن و دیواره مثانه پایین می‌باشد. نتایج محاسبات به روش MIRD حاکی از آن است که اگر  $^{186}\text{Re}$ -DTPA<sup>۱۸۶</sup> به مقدار  $250$  میلی‌کوری بطور کامل در سیستم گردش خون نشست یابد، دُز جذبی کل بدن در حدود  $20-30\text{ mGy}$  خواهد بود. بهر حال احتمال پارگی بالون خیلی کم و در حدود  $0/1$  درصد می‌باشد [۱۱]، از طرفی فشار مورد نیاز برای پر کردن بالون با محلول رادیواکتیو کمتر از نصف فشار مورد نیاز برای درمان آثروپلاستی متداول می‌باشد. بنابراین دُز جذبی کل بدن خیلی کمتر از مقادیر پیش گفته است.



## References:

1. A.J. Carter, J.R. laird, L.R. Bailley, "Effect of endovascular radiation from a  $\beta$ -particle-emitting stent in a porcine coronary restenosis model," *Circulation*, **94**, 2364-2368 (1996).
2. J.A. Condado, R. Waksman, O. Gurdial, "Long-term angiographic and clinical outcome after percutaneous transluminal coronary and intracoronary radiation therapy in humans," *Circulation*, **96**, 727-732 (1997).
3. R. Waksman, "Local catheter-based intracoronary radiation therapy restenosis prevention," *Am. J. Cardiol.*, **78**, 23-28 (1996).
4. D.O. Williams, "Radiation vascular therapy: A novel approach to preventing restenosis," *Am. J. Cardiol.*, **87**(7A), 18E-20E (1998).
5. P. Teirstein, "Catheter-based radiotherapy to inhibit restenosis after coronary stenting," *N. Engl. J. Med.*, **336**, 1697-1702 (1997).
6. V. Verin, P. Urban, Y. Popowski, M. Schwger, Ph. Nauer, P.A. Dorza, P. Chateain, M.J. Kurtz, W. Rutishauser, "Feasibility of intracoronary  $\beta$ -irradiation to reduce restenosis after balloon angioplasty," *Circulation*, **95**, 1138-1144 (1997).
7. H.I. Amols, L.E. Reinstein, J. Weinberger, "Dosimetry of a radioactive coronary balloon dilution catheter for treatment of neointimal hyperplasia," *Med. Phys.*, **23**, 1783-1788 (1996).
8. G.S. Stabin, M. Konijnenberg, F.F. Knapp, R.H. Spencer, "Monte Carlo modeling of radiation dose distribution in intravascular radiation therapy," *Med. Phys.*, **27**, 1086-1092 (2000).
9. J.F. Briesmeister, "MCNP-A general Monte Carlo N-particle transport Code, Version 4C," Los Alamos National Laboratory Report LA12625 (2000).
10. O. Israel, Z. Keidor, R. Rubinov, G. Losilevski, A. Frenel, A. Kuten, L. Betman, G.M. Kolodny, D. Yarnisky, D. Front, "Quantitative bone single-photon emission computed tomography for prediction of pain relief in metastatic bone disease treated with rhenium-186 etidronate," *J. Clinical Oncol.*, **18**, 2747-2754 (2000).
11. USDOE "ENSDEF decay data Center," Brookhaven National Laboratory, Upton, NY, USA (2004).
12. O. Ratib, Y. Ligier, Gh. Girard, M. Logean, R. Welz, "OSIRIS. A multiplatform software for display and analysis of images from the cardiac DICOM CD Standard," University Hospital of Geneva, Switzerland (2006).
13. S.R. Thomas, H.L. Atkin, J.G. Macafee, "MIRD dose estimatereport No.12 radiation absorbed dose from  $^{99m}\text{Tc-DTPA}$ ," *J. Nucl. Med.*, **25**, 503-505 (1984).